

Физико-технический  
институт низких температур  
АН УССР

Поступило в Редакцию  
3 февраля 1990 г.

Письма в ЖТФ, том 16, вып. 21

12 ноября 1990 г.

03; 1.1

© 1990

РЕГИСТРАЦИЯ НЕЙТРОНОВ И ТРИТИЯ  
ИЗ МАССИВНОЙ ПАЛЛАДИЕВОЙ МИШЕНИ  
ПРИ ЭЛЕКТРОЛИТИЧЕСКОМ НАСЫЩЕНИИ ДЕЙТЕРИЕМ

П.И. Голубничий, Е.П. Ковалчук,  
Г.И. Мерзон, А.Д. Филоненко,  
В.А. Царев, А.А. Царик

Сообщения [1, 2] о наблюдении ядерной эмиссии (нейтронов, трития) из палладиевых и титановых образцов, насыщенных дейтерием, инициировали поток работ, имевших целью проверку эффекта и выяснение его механизма. К настоящему времени, несмотря на большое число публикаций (см., например, обзор [3]), природа „низкотемпературного ядерного синтеза“ (НТС) и многие его особенности остаются неясными.

Начиная с апреля 1989 г. нами проводилась серия экспериментов по изучению различных аспектов этого явления и проверке предсказаний „ускорительной“ модели НТС [4, 5]. В настоящей работе представлены результаты первой части исследований, относящиеся к регистрации нейтронов и трития при электролитическом насыщении палладия дейтерием. Использовались две экспериментальные установки. Одна из них представляла собой открытый электролизер с цилиндрическим палладиевым катодом длиной 7 см, массой 13 г и площадью поверхности около  $10 \text{ см}^2$ , изготовленным методом восстановления  $PdCl_2$ . Электролит-раствор  $LiClO_4$  в  $D_2O$  с концентрацией 0.1 моль/л и объемом 20 мл. Предусматривалась одновременная и независимая регистрация нейтрона до и после его замедления. Счетчик быстрых нейтронов (СБН) был изготовлен на основе стандартного пластического сцинтилятора. Счетчик медленных нейтронов (СМН) содержал замедлитель и сборку из 10 стандартных нейтронных детекторов СМН-18. Установка экранировалась от электромагнитных наводок сплошным заземленным алюминиевым кожухом. Для повышения достоверности детектирования нейтронов был реализован т.н. „быстро-медленный“ (БМ) метод

регистрации. Событие приписывалось одному и тому же нейтрону, если СБН и СМН срабатывали последовательно друг за другом в пределах необходимого для термализации времени замедления ( $\sim 10$  мкс). Сигналы СБН и СМН записывались на двухлучевом запоминающем осциллографе, который запускался сигналом СМН.

Калибровочные эксперименты, проведенные с использованием  $Ru - Be$  источника нейтронов и нейтронного источника  $Cf^{252}$  с активностью  $10^4 \text{ c}^{-1}$  и  $10^2 \text{ c}^{-1}$  соответственно, позволили выбрать необходимые пороги электроники и оценить значения эффективности регистрации каналов ( $\eta_{СМН} \approx 10\%$ ,  $\eta_{СБН} \approx 30\%$ ).

Для регистрации газообразного трития, десорбируемого из предварительно насыщенного в электролизере дейтерием палладиевого образца, а также для обнаружения эмиссии нейтронов в момент термодесорбции использовалась вторая экспериментальная установка. Палладиевый образец помещался внутрь миниатюрного сосуда Дюара в металлическую трубку, окруженную нагревателем. Объем трубы сообщался с помощью герметичного медного газопровода с камерой, снабженной детектором активности трития. Тритиевый детектор представляет собой тонкий диск  $CsJ$  диаметром 35 мм и толщиной 0.3 мм, находящийся внутри камеры в непосредственном контакте с газообразными продуктами десорбции и просматриваемый фотумножителем через стеклянное окно-световод. Порог регистрации  $\beta$ -электронов трития устанавливался на уровне  $\sim 2$  КэВ. Калибровка проводилась с помощью  $\mu$ -источников  $Co^{60}$  и  $Cs^{137}$  а также по среднему энерговыделению ( $\approx 0.3$  МэВ) космических частиц в сцинтилляторе. Для регистрации нейтронов в этой части эксперимента использовался только канал СМН, эффективность которого была повышена до  $\approx 20\%$  благодаря улучшению геометрии замедления.

На рис. 1, а приведена временная диаграмма результатов измерений интенсивности нейтронной эмиссии при прохождении через ячейку электрического тока, а также суммарного фона ( $\sum \Phi$ ), состоящего из фона случайных совпадений ( $\Phi_{cc}$ ) и коррелированного фона. Процедура измерения фона включала: а) замену мишени на сопоставимый по массе образец из палладиевой проволоки, не насыщенной дейтерием, при выключенном токе ( $I=0$ ); б) замену палладиевой мишени на аналогичный по массе никелевый стержень при токе до 2 А; в) использование электролита на обычной воде и никелевого катода при токе до 2 А. Каждое из этих измерений длилось 90 мин. Благодаря реализации „быстро-медленного“ способа отбора событий удалось снизить фон до  $\approx 0.3$  событий/мин при эффективности регистрации нейтронов  $\eta_{BM} = \eta_{СМН} \eta_{СБН} \approx 3\%$ .

Как показано на рис. 1, а, на протяжении первых шести часов измерений зарегистрировано 6 нейтронных вспышек, интенсивность которых более чем на порядок превышает фоновую. Вспышки содержали от нескольких десятков до сотен нейтронов, испущенных за время  $\lesssim 1$  мин. Чередование вспышек подтверждает ожидаемый в ускорительной модели [4, 5] „волнообразный“ характер НТС.

Рис. 1, б демонстрирует (также предсказываемое [4, 5]) повышение

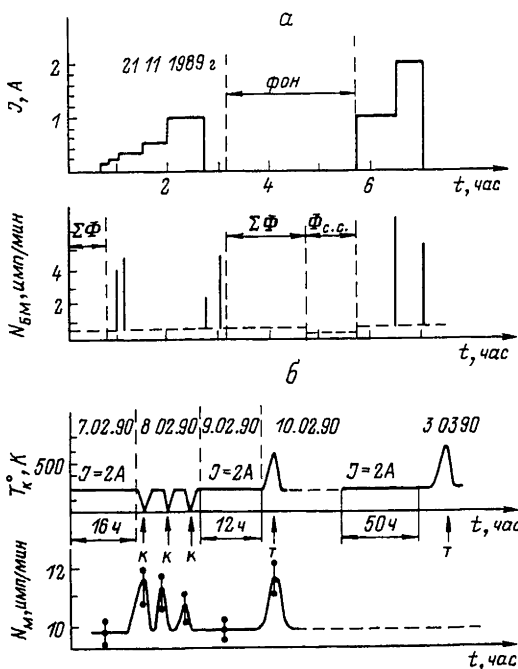


Рис. 1. а) Регистрация нейтронной эмиссии при электролизе.  $J$  – ток в электролитической ячейке.  $N_{БМ}$  – число событий, зарегистрированных „быстро-медленным” методом,  $N_M$  – усредненная интенсивность эмиссии медленных нейтронов.  $\Sigma\Phi$  – суммарный фон,  $\Phi_{cc}$  – фон случайных совпадений. б) Регистрация нейтронной эмиссии при термоциклизации (К – криоудары, Т – термоудары).

нейтронной активности при воздействии на дейтерированный палладиевый образец термо- и криоударами и, возможно, при „токоциклировании” в электролизере (см. „токовую” ступеньку от 0.1 до 1 А на рис. 1, а).

На рис. 2 помимо нескольких небольших нейтронных вспышек обращает на себя внимание скачок скорости счета в тритиевом детекторе, коррелированный по времени с первым термоударом (нагревание до 200 °С в течение 2 мин). При последующих циклах стравливания десорбированного газа, откачки и повторного прогрева повышения счета тритиевого детектора не наблюдалось. Скорость счета А детектора  $C_3J$  при первой термодесорбции превысила фон на величину  $\Delta A \approx 1 \text{ с}^{-1}$ , рис. 2. Отсюда можно оценить (см. подробнее в [6]) полное число  $N_T$  десорбированных из палладия атомов трития,  $N_T \approx 1.3 \cdot 10^{11}$  и относительную концентрацию трития

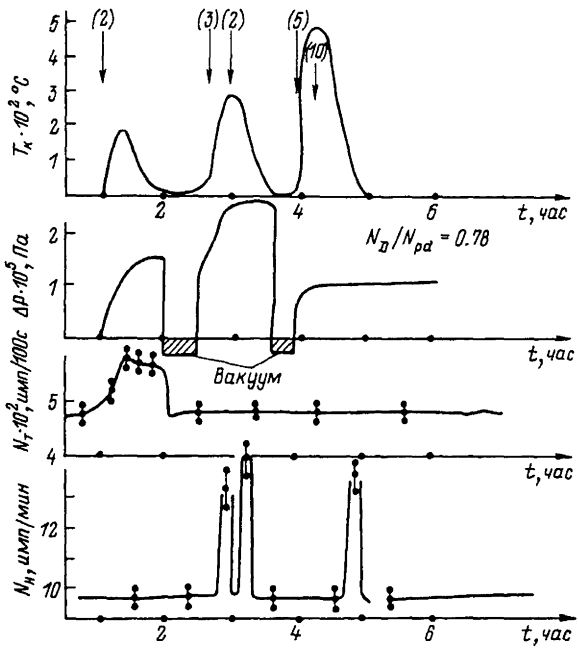


Рис. 2. Регистрация нейтронов и трития, испускаемых палладиевым образцом, насыщенным дейтерием.  $T_k$  – температура нагрева образца (стрелки и цифры указывают соответственно моменты и продолжительность (в минутах) термо- и криоударов).  $P$  – изменение давления газа в рабочем объеме установки,  $N_T$ ,  $N_H$  – скорости счета в каналах тритиевого детектора и детектора медленных нейтронов ( $\eta_{СМН} = 20\%$ ).

в десорбированном газе  $N_T/N_D \approx 6.4 \cdot 10^{-12}$ . Возникает вопрос, вызвана ли найденная в нашем эксперименте активность трития его наработкой в реакции НТС  $D + D \rightarrow T + \rho$  [7] или естественной примесью трития в тяжелой воде электролита. Вообще говоря, последнее могло бы иметь место, поскольку найденное отношение  $N_T/N_D$  для тяжелой воды соответствует активности  $\sim 180$  Бк/мл, а активность поставляемой тяжелой воды может достигать 30–70 Бк/мл. Однако в этом случае можно было бы ожидать появления трития не только после первого, но и после повторных термоударов, где он должен был бы десорбироваться вместе с оставшимся дейтерием. Поэтому результаты последней части эксперимента, которые мы рассматриваем как предварительные, скорее свидетельствуют в пользу наработки трития в поверхностном слое образца, откуда он практически полностью десорбируется после первого термо-

удара. Однозначного количественного вывода в настоящее время мы сделать не можем, поскольку первоначальное содержание трития в тяжелой воде измерено не было. В дальнейшем планируется провести более детальное исследование на тритий, используя в электролите слабоактивную тяжелую воду и контролируя ее активность.

## Список литературы

- [1] Fleischmann M., Pons S. // Journ. Electroanalyt. Chem. V. 261. P. 301; Erratum 1989. V. 263. P. 197.
- [2] Jones S.E., Palmer E.P., Czirr J.B. et al. // Nature. 1989. V. 338. P. 737.
- [3] Царев В.А. // Препринты ФИАН № 57, 58, апрель 1990.
- [4] Голубничий П.И., Куракин В.А., Филоненко А.Д. и др. // Препринт ФИАН № 113, апрель 1989; // ДАН СССР. 1989. Т. 307. С. 99.
- [5] Голубничий П.И., Царев В.А., Чечин В.А. // Препринт ФИАН № 149, июль 1989.
- [6] Голубничий П.И., Ковальчук Е.П., Мерзен Г.И. и др. // Препринт май 1990.
- [7] Iuengger P.K. In the Proc. of the 5th Intern. Conf. on Emerging Nuclear Energy Systems, Karlsruhe, FRG. July 3-6, 1989.

Физический институт  
им. П.Н. Лебедева  
АН СССР

Поступило в Редакцию  
22 мая 1990 г.

Письма в ЖТФ, том 16, вып. 21

12 ноября 1990 г.

06.2; 06.3

(C) 1990

СВЕТОДИОД С  $\lambda_{max} \approx 398$  нм

В.А. Дмитриев, Л.М. Коган,  
Я.В. Морозенко, В.Е. Челноков,  
А.Е. Черенков

Создание синих и фиолетовых карбидкремниевых светодиодов позволило завершить светодиодное освоение видимой части спектра. Легированные азотом (донар) и алюминием (акцептор) эпитаксиальные  $SiC$  р-п структуры политипа 6Н послужили основой для синих светодиодов [1-4]; аналогичные р-п структуры политипа 4Н - для фиолетовых светодиодов [5, 6]. Актуальным направлением дальней-